

Méthodes de décomposition de domaine espace-temps

Paul-Marie Berthe

CEA Saclay, Université Paris 13

Directeur de thèse : Pascal Omnes (CEA Saclay, Université Paris 13)

Encadrant : Caroline Japhet (Université Paris 13)

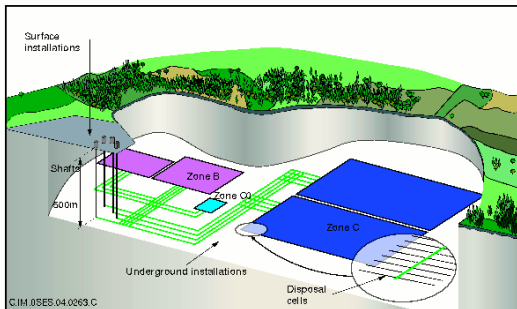
Congrès SMAI

27 mai 2011

- 1 Contexte
- 2 La méthode
- 3 Notre problème en 1D
- 4 Résultats
- 5 Conclusion et perspectives



Stockage en milieu géologique pour les déchets à vie longue (haute activité)



Structure d'un stockage de déchets nucléaires en milieu géologique profond (source : Andra)

3 fonctions :

- limiter le relâchement des éléments radioactifs
- retarder le temps de migration
- empêcher la circulation d'eau

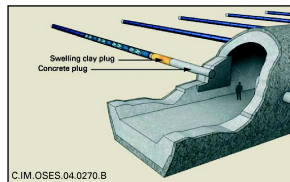
assurées par différentes barrières : colis, scellement, couche géologique profonde peu perméable

Objectif : Mieux comprendre l'évolution des colis de déchets en situation de stockage au cours du temps et la migration des radionucléides dans la géosphère

- Modélisation du transport des radionucléides en milieu poreux
 - Equation de convection-diffusion-réaction :
- $$\mathcal{L}u = \omega \partial_t u + \nabla \cdot (\mathbf{b}u) - \nabla \cdot (\nu \nabla u) + cu = f$$
- Prise en compte des propriétés des couches géologiques fortement hétérogènes
 - Porosité ω discontinue
 - Diffusion ν anisotrope et discontinue
 - Prise en compte des échelles multiples
 - En espace et en temps

⇒ raffinement de maillage espace-temps,
couplage de modèles

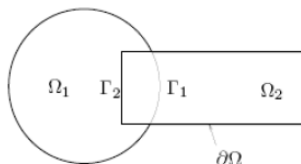
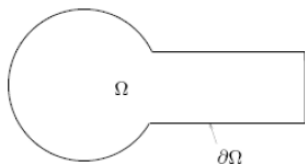
Solution : Décomposition de domaines



(Source : Andra)



L'algorithme de Schwarz (1870)



$$\left\{ \begin{array}{ll} \mathcal{L}u_1^{(k+1)} = f & \text{dans } \Omega_1 \times (0, T) \\ u_1^{(k+1)}(\cdot, 0) = u_0 & \text{dans } \Omega_1 \\ u_1^{(k+1)} = u_2^{(k)} & \text{sur } \Gamma_1 \end{array} \right. \quad \left\{ \begin{array}{ll} \mathcal{L}u_2^{(k+1)} = f & \text{dans } \Omega_2 \times (0, T) \\ u_2^{(k+1)}(\cdot, 0) = u_0 & \text{dans } \Omega_2 \\ u_2^{(k+1)} = u_1^{(k)} & \text{sur } \Gamma_2 \end{array} \right.$$

→ l'algorithme ne converge pas sans recouvrement

→ Sans recouvrement : $B_1 u_1^{(k+1)} = B_1 u_2^{(k)}$ et $B_2 u_2^{(k+1)} = B_2 u_1^{(k)}$

La manière de procéder



La méthode - Généralités

Equation du transport des radionucléides sur $\Omega = \cup \Omega_i$ pour 2 sous-domaines (sans recouvrement)

$$\begin{cases} \mathcal{L}u_1^{(k+1)} = f & \text{dans } \Omega_1 \times (0, T) \\ u_1^{(k+1)}(\cdot, 0) = u_0 & \text{dans } \Omega_1 \\ \mathcal{B}_1 u_1^{(k+1)} = \mathcal{B}_1 u_2^{(k)} & \text{sur } \Gamma \end{cases} \quad \begin{cases} \mathcal{L}u_2^{(k+1)} = f & \text{dans } \Omega_2 \times (0, T) \\ u_2^{(k+1)}(\cdot, 0) = u_0 & \text{dans } \Omega_2 \\ \mathcal{B}_2 u_2^{(k+1)} = \mathcal{B}_2 u_1^{(k)} & \text{sur } \Gamma \end{cases}$$

où \mathcal{B}_i sont les opérateurs de transmission

Discrétisation :

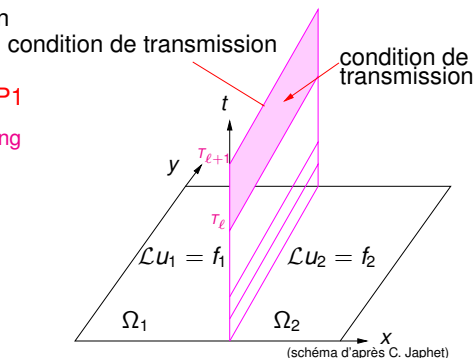
- en temps : **Galerkin discontinu P0 ou P1**

Discontinuous Galerkin and non conforming
in time optimized Schwarz waveform
relaxation for heterogeneous problems
(Halpern, Japhet, 2005)

- en espace : **Volumes finis** avec terme
de convection centré ou décentré

Décomposition de domaine :

- **Méthodes de Schwarz optimisées**





- Conditions de transmission physiques :

$$u_1 = u_2 \quad \text{et} \quad \nu_1 \frac{\partial u_1}{\partial n} = \nu_2 \frac{\partial u_2}{\partial n} \quad \text{sur } \Gamma$$

- Conditions de transmission dans l'algorithme de Schwarz :

A SWR Method for Advection-Diffusion-Reaction Problems with discontinuous coefficients and non-matching grids (Gander, Halpern, Kern, Proceedings, DD17 (2005))

$$\mathcal{B}_1(u_1^{k+1}) = \mathcal{B}_1(u_2^k) \quad \text{et} \quad \mathcal{B}_2(u_2^{k+1}) = \mathcal{B}_2(u_1^k) \quad \text{sur } \Gamma$$

avec :

$$\begin{cases} \mathcal{B}_1 = \nu_1 \frac{\partial}{\partial n} - \mathbf{b} \cdot \mathbf{n} + \mathcal{S}_2 \\ \mathcal{B}_2 = \nu_2 \frac{\partial}{\partial n} - \mathbf{b} \cdot \mathbf{n} + \mathcal{S}_1 \end{cases}$$

Comment choisir \mathcal{S}_j pour optimiser la vitesse de convergence de l'algorithme ?

→ Outil : Transformée de Fourier en temps
(et en espace le long de l'interface en 2D et 3D)



Méthode de Schwarz (appliqué à notre problème 1D)

- Transformée de Fourier à partir de l'EDP continue

$$\omega_j i k \widehat{e}_j^k - \nu_j \partial_{xx}^2 \widehat{e}_j^k + b \partial_x \widehat{e}_j^k \partial x + c \widehat{e}_j^k = 0 \quad \text{où } e_j^k = W_{|\Omega_j} - u_j^k$$

- Taux de convergence

$$\rho = \frac{\nu_2 r_2^- - b + s_1}{\nu_1 r_1^+ - b + s_1} \cdot \frac{-\nu_1 r_1^+ + b + s_2}{-\nu_2 r_2^- + b + s_2}$$

$$\text{où } r_1^+ = \frac{b + \sqrt{d_1}}{2\nu_1} \quad r_2^- = \frac{b - \sqrt{d_2}}{2\nu_2} \quad d_j = b^2 + 4\nu_j(ik\omega_j + c)$$

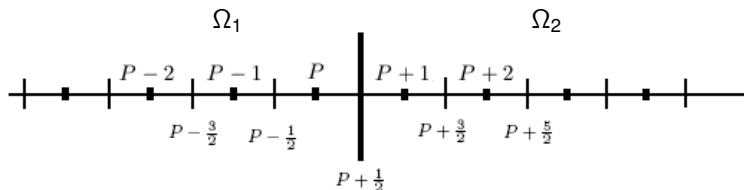
- Symboles d'opérateurs exacts

$$s_1 = \frac{b + \sqrt{d_2}}{2} \quad s_2 = \frac{\sqrt{d_1} - b}{2}$$

Inconvénient : s_1 et s_2 sont des symboles d'opérateurs non-locaux

→ Approximation par $\tilde{s}_1 = \alpha_1 + ik\beta_1$ et $\tilde{s}_2 = \alpha_2 + ik\beta_2$

$$\text{Ainsi : } \mathcal{B}_j = \nu_j \frac{\partial}{\partial n} - b \cdot n + \alpha_i + \beta_i \frac{\partial}{\partial t}$$



- Schéma sur une maille i (point intérieur) :

$$\omega_i \frac{\Delta x_i}{(\Delta t)^n} (U_{0_i}^n - U_{0_i}^{n-1}) + b(U_{0_{i+\frac{1}{2}}}^n - U_{0_{i-\frac{1}{2}}}^n) - (\nu \nabla U_0)_{i+\frac{1}{2}}^n + (\nu \nabla U_0)_{i-\frac{1}{2}}^n + c \Delta x_i U_{0_i}^n - \Delta x_i f_{0_i}^n = 0 \quad (1)$$

$$\text{- avec } (\nu \nabla U_0)_{i+\frac{1}{2}} = 2\nu_i \frac{U_{0_{i+\frac{1}{2}}} - U_{0_i}}{\Delta x_i} = 2\nu_{i+1} \frac{U_{0_{i+1}} - U_{0_{i+\frac{1}{2}}}}{\Delta x_{i+1}}$$

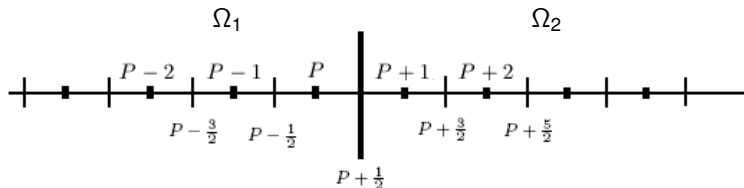
$$\text{d'où } (\nu \nabla U_0)_{i+\frac{1}{2}} = \frac{2\nu_i \nu_{i+1} (U_{0_{i+1}} - U_{0_i})}{\nu_i \Delta x_{i+1} + \nu_{i+1} \Delta x_i}$$

- Terme de convection :

$$U_{0_{i+\frac{1}{2}}} = \frac{\nu_i \Delta x_{i+1}}{\nu_i \Delta x_{i+1} + \nu_{i+1} \Delta x_i} U_{0_i} + \frac{\nu_{i+1} \Delta x_i}{\nu_i \Delta x_{i+1} + \nu_{i+1} \Delta x_i} U_{0_{i+1}} \quad \text{dans le cas centré}$$

$$U_{0_{i+\frac{1}{2}}} = U_{0_i} \quad (\text{si } b > 0) \quad \text{dans le cas décentré}$$

Notre problème en 1D



- A l'interface, en $\{x_{P+1/2}\}$, discrétisation des conditions de transmission :

$$\begin{aligned}
 2\nu_P \frac{U_{0_{P+1/2}}^n{}^{(k+1)} - U_{0_P}^n{}^{(k+1)}}{\Delta x_P} - bU_{0_{P+1/2}}^n{}^{(k+1)} + \alpha_2 U_{0_{P+1/2}}^n{}^{(k+1)} \\
 = 2\nu_{P+1} \frac{V_{0_{P+1}}^n{}^{(k)} - V_{0_{P+1/2}}^n{}^{(k)}}{\Delta x_{P+1}} - bV_{0_{P+1/2}}^n{}^{(k)} + \alpha_2 V_{0_{P+1/2}}^n{}^{(k)} \\
 - 2\nu_{P+1} \frac{V_{0_{P+1}}^n{}^{(k+1)} - V_{0_{P+1/2}}^n{}^{(k+1)}}{\Delta x_{P+1}} + bV_{0_{P+1/2}}^n{}^{(k+1)} + \alpha_1 V_{0_{P+1/2}}^n{}^{(k+1)} \\
 = -2\nu_P \frac{U_{0_{P+1/2}}^n{}^{(k)} - U_{0_P}^n{}^{(k)}}{\Delta x_P} + bU_{0_{P+1/2}}^n{}^{(k)} + \alpha_1 U_{0_{P+1/2}}^n{}^{(k)}
 \end{aligned}$$



- Schéma multidomaine centré sur la maille P

reprendre l'équation (1) (avec l'indice (k) de l'itération de l'algorithme de Schwarz)

$$\begin{aligned} U_{0P}^n(k) & \left[\omega_P \frac{\Delta x_P}{(\Delta t)_n} - b \frac{\nu_P \Delta x_{P-1}}{\nu_{P-1} \Delta x_P + \nu_P \Delta x_{P-1}} + \frac{2\nu_P}{\Delta x_P} + \frac{2\nu_{P-1} \nu_P}{\nu_{P-1} \Delta x_P + \nu_P \Delta x_{P-1}} + c \Delta x_P \right] \\ & + U_{0P-1}^n(k) \left[-b \frac{\nu_{P-1} \Delta x_P}{\nu_{P-1} \Delta x_P + \nu_P \Delta x_{P-1}} - \frac{2\nu_{P-1} \nu_P}{\nu_{P-1} \Delta x_P + \nu_P \Delta x_{P-1}} \right] \\ & = \omega_P \frac{\Delta x_P}{(\Delta t)_n} U_{0P}^{n-1(k)} - \left(b - \frac{2\nu_P}{\Delta x_P} \right) U_{0P+1/2}^n(k) + \Delta x_P t_{0P}^n \end{aligned}$$

lorsque l'algorithme de Schwarz converge, on retrouve le schéma monodomaine à partir du schéma multidomaine en utilisant la condition de transmission à convergence :

$$\overline{U}_{0P+1/2} = \frac{\nu_P \Delta x_{P+1} \overline{U}_{0P} + \nu_{P+1} \Delta x_P \overline{V}_{0P+1}}{\nu_P \Delta x_{P+1} + \nu_{P+1} \Delta x_P}$$



- Schéma multidomaine décentré

- Maille en amont de l'interface :

Les termes de convection ne posent pas de difficultés

Les termes de diffusion se traitent comme dans le cas centré

- Maille en aval de l'interface :

$$\frac{\Delta x_{P+1}}{(\Delta t)_n} (V_{0P+1}^n{}^{(k)} - V_{0P+1}^{n-1}{}^{(k)}) + b(V_{0P+1}^n{}^{(k)} - \tilde{V}_{0P+\frac{1}{2}}^n{}^{(k)}) - \frac{2\nu_{P+1}\nu_{P+2}(V_{0P+2}^n{}^{(k)} - V_{0P+1}^n{}^{(k)})}{\nu_{P+1}\Delta x_{P+2} + \nu_{P+2}\Delta x_{P+1}} + 2\nu_{P+1} \frac{V_{0P+1}^n{}^{(k)} - V_{0P+\frac{1}{2}}^n{}^{(k)}}{\Delta x_{P+1}} + c\Delta x_{P+1} V_{0P+1}^n{}^{(k)} - \Delta x_{P+1} f_{0P+1}^n = 0$$

Comment déterminer $\tilde{V}_{0P+\frac{1}{2}}^n{}^{(k)}$?

Utiliser la condition $\bar{U}_{0P+\frac{1}{2}}^n = \frac{\nu_P \Delta x_{P+1} \bar{U}_{0P}^n + \nu_{P+1} \Delta x_P \bar{V}_{0P+1}^n}{\nu_P \Delta x_{P+1} + \nu_{P+1} \Delta x_P}$

$$\text{D'où } \tilde{V}_{0P+\frac{1}{2}}^n{}^{(k)} = \begin{cases} \frac{(\nu_P \Delta x_{P+1} + \nu_{P+1} \Delta x_P) V_{0P+\frac{1}{2}}^n{}^{(k)} - \nu_{P+1} \Delta x_P V_{0P+1}^n{}^{(k)}}{\nu_P \Delta x_{P+1}} & \text{Schéma d0} \\ U_{0P}^n{}^{(k-1)} \text{ (i.e. } U_{0P}^n \text{ transmis)} & \text{Schéma d1} \end{cases}$$

Notre problème en 1D

 Prise en compte du schéma décentré dans l'optimisation des paramètres

- Adaptation dans le cas d'un schéma décentré

Schéma décentré \iff Schéma centré avec viscosité artificielle $\nu' = \nu + \frac{b\Delta x}{2}$

\rightarrow Symboles d'opérateurs exacts : $s_1 = \frac{\nu_2}{2\nu'_2}(b + \sqrt{d_2}) - b$ $s_2 = b - \frac{\nu_1}{2\nu'_1}(b - \sqrt{d_1})$

- Optimisation à partir du taux de convergence discret

Transformée de Fourier discrète en temps : $u_i^n = \sum_k e^{ikn\Delta t} \hat{u}_i$

\rightarrow Récurrence à 3 termes de chaque côté de l'interface

\rightarrow Solution générale d'une EDO d'ordre 2

- Utilisation des conditions limites pour déterminer deux constantes

- Le taux de convergence dérive de la relation entre les deux autres constantes dans la condition de transmission

Schéma d0 :

$$\rho(\omega, \nu, b, c, \Delta x, \Delta t, \alpha, \beta) = \frac{G^- C_2 + \frac{2\nu_1}{\Delta x_1} r_1}{F^+ C_1 - \frac{2\nu_2}{\Delta x_2}} \cdot \frac{G^+ C_1 + \frac{2\nu_2}{\Delta x_2}}{F^- C_2 - \frac{2\nu_1}{\Delta x_1} r_1}$$

Schéma d1 :

$$\rho(\omega, \nu, b, c, \Delta x, \Delta t, \alpha, \beta) = \frac{(F^+ + G^+) b r_1 + (G^- C_2 + \frac{2\nu_1}{\Delta x_1} r_1) (G^+ C_3 + \frac{2\nu_2}{\Delta x_2})}{(F^+ C_3 - \frac{2\nu_2}{\Delta x_2}) \cdot (F^- C_2 - \frac{2\nu_1}{\Delta x_1} r_1)}$$

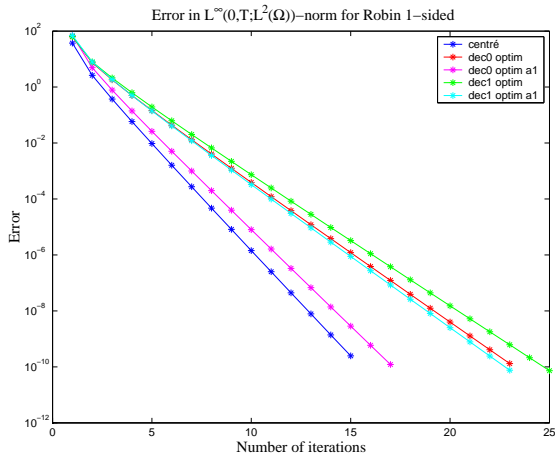


Comparaison Centré - Décentré d0 - Décentré d1

● Coefficients constants

- $\omega_1 = \omega_2 = 1$
- $b = 1$
- $\nu_1 = \nu_2 = 0.01$
- $c = 0$

Maillage :
 $\Delta x = \Delta t = 10^{-2}$



	c	d0	d0 a1	d1	d1 a1
nb it	15	23	17	25	23

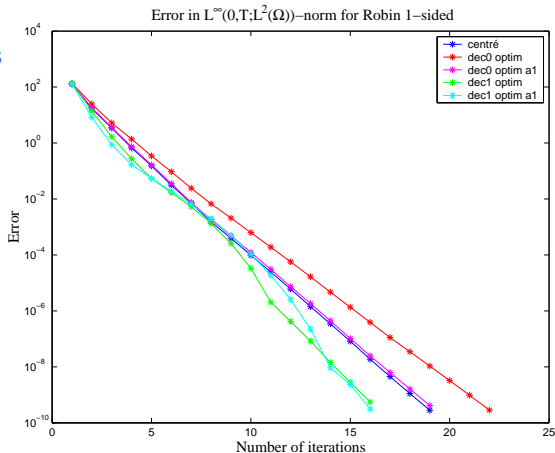


Comparaison Centré - Décentré d0 - Décentré d1

- Coefficients non constants

- $\omega_1 = 0.06, \omega_2 = 1$
- $b = 1$
- $\nu_1 = 0.05, \nu_2 = 1$
- $c = 0$

Maillage :
 $\Delta x = \Delta t = 10^{-2}$



	c	d0	d0 a1	d1	d1 a1
nb it	19	22	19	16	16

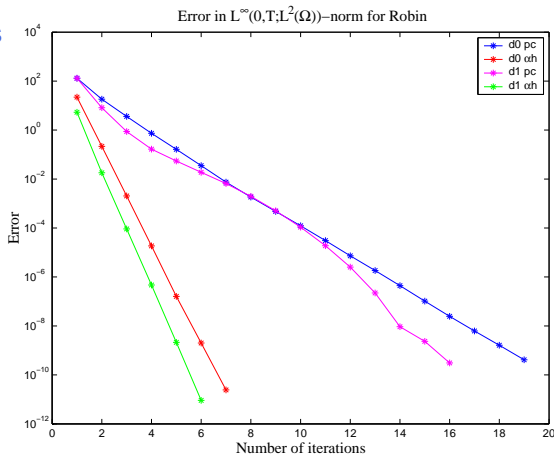


● Coefficients non constants

- $\omega_1 = 0.06, \omega_2 = 1$
- $b = 1$
- $\nu_1 = 0.05, \nu_2 = 1$
- $c = 0$

Maillage :

$$\Delta x = \Delta t = 10^{-2}$$



	d0 c	d0 h	d1 c	d1 h
nb it	19	7	16	6

Conclusion et perspectives

- Conclusions

Développement d'un code Matlab 1D monodomaine et multidomaine

avec des conditions optimisées à l'interface, soit à partir du taux de convergence continu, soit à partir du taux discret

Comparaison centré - décentré d0 et d1 :

- le schéma centré est en général le meilleur (en terme de vitesse de convergence)

- le schéma décentré d0 donne, dans la plupart des cas, des meilleurs résultats que d1

Comparaison optimisation avec le taux de CV continu ou discret :

amélioration plus ou moins nette selon les cas-tests

- Perspectives

Ecriture du schéma monodomaine en 2D à partir de schémas volumes finis à dualité discrète

Analyse et validations du code multi-domaine

Difficulté des coins pour les conditions d'ordre 2